

تأثیر شعاع خمیدگی گوشه بر ظرفیت کمانش موقعی ارجاعی اعضای فشاری ساخته شده از مقاطع نورد سرد

فریدون ایوانی (استاد)

آرش پیرامی (کارشناس ارشد)
دانشکده مهندسی، دانشگاه فردوسی مشهد

مقاطع نورد سرد به دلیل نحوه خاص تولید، دارای هندسه‌ی خمیده در گوشه هستند. در این نامه‌های کنونی برای طراحی مقاطع نورد سرد از تأثیر گوشه‌های خمیده صرف نظر شده و از عرض تخت به جای عرض واقعی استفاده می‌شود. در این تحقیق تأثیر خمیدگی در گوشه‌های مقاطع نورد سرد بر ظرفیت کمانش موقعی ارجاعی مورد بررسی قرار گرفته است. برای این منظور دو گونه از مقاطع نورد سرد شامل مقاطع قوطی شکل (مقاطع بسته) و ناودانی (مقاطع باز) مورد مطالعه قرار گرفته‌اند. در این بررسی از روش انرژی با به کارگیری سری‌های فوریه به منظور یافتن بار کمانشی با در نظر داشتن اثرات پیچش و تابیدگی در گوشه‌های خمیده استفاده شده است.

irani_fe@yahoo.com
arbh3@yahoo.com

وازگان کلیدی: نورد سرد، شعاع خمیدگی گوشه، کمانش موقعی ارجاعی،
تابیدگی، روش انرژی.

۱. مقدمه

که کلیه ابعاد و همچنین شعاع خمیدگی گوشه، از خطوط میان صفحه‌ی مقاطع اندازه‌گیری شده‌اند.

۲. کمانش موقعی

ضخامت‌های معمول مورد استفاده در مقاطع نورد سرد بین $4\text{--}6\text{ میلی‌متر}$ است.^[۱] از همین‌رو، این مقاطع جزو مقاطع گوناگون نورد سرد اجازه‌ی تولید گوشه‌های به سبب لاغری زیاد در جداره‌ها در معرض انواع ناپایداری‌ها قرار دارند، فرایند طراحی این مقاطع بیجده‌تر می‌شود. کمانش ارجاعی در این‌گونه مقاطع را بسته به بخشی از مقطع که دچار ناپایداری می‌شود می‌توان به سه دسته تقسیم کرد: کمانش موقعی، اعوجاج و کمانش کلی (خششی یا بیجشی).

کمانش کلی هنگامی اتفاق می‌افتد که کل سطح مقطع کمانه کند. این حالت شامل جایه‌جایی (کمانش اولرا، چرخش (کمانش بیجشی) یا هر دو (کمانش خمشی - بیجشی) می‌شود. در این حالت هیچ اعوجاجی در اجزا رخ نمی‌دهد. بعضاً به این حالت «ناپایداری جسم صلب» نیز گفته می‌شود؛ زیرا هر برشی از مقطع در این حالت همانند جسم صلب، بدون هیچ گونه اعوجاجی در مقطع جایه‌جا می‌شود. اعوجاج زمانی رخ می‌دهد که در خط تاشدگی عضو علاوه بر چرخش، جایه‌جایی نیز حادث شود. این حالت به سبب اعوجاج یک بخش از سطح مقطع، در حالی که سایر بخش‌ها نظیر بال یا لبه‌ی مقطع استوار باقی بمانند، ایجاد می‌شود.

هندسه‌ی گوشه در مقاطع نورد سرد به طور کلی نسبت به مقاطع نورد گرم متفاوت است. روند شکل دهنده سرد برای مقاطع گوناگون نورد سرد اجازه‌ی تولید گوشه‌های فائمه را نمی‌دهد و از این‌رو همواره در گوشه‌ی این نوع مقاطع یک شعاع خمیدگی وجود دارد. این خمیدگی در مقاطع نورد سرد و برای پرهیز از مشکلاتی نظری شکستگی فلز یابید مقاطع یا یوشش فلزی آن در گوشه‌ها - که عمدتاً در مقاطع تیزگوشه دیده می‌شود - سودمند است.

در این نوشته اثر شعاع خمیدگی گوشه در مقاومت کمانش ارجاعی مقاطع نورد سرد مورد بررسی قرار می‌گیرد. برای این منظور، دو گونه‌ی کلی از مقاطع نورد سرد شامل مقاطع دارای اجزای تقویت‌نشده (مقاطع ناودانی یا بازا) و مقاطع دارای اجزای تقویت‌شده (مقاطع قوطی شکل یا بسته) مورد تحلیل قرار گرفته است. پادآور می‌شود که اجزای تقویت‌شده در هر دو لبه‌ی طولی خود دارای تکیه‌گاه ممتد هستند (نظیر جداره‌ی مقطع قوطی شکل) و اجزای تقویت‌نشده، فقط در یک لبه‌ی طولی خود دارای تکیه‌گاه ممتد هستند (نظیر بال ناودانی). برای یافتن بار بحرانی کمانش موقعی از روش معمول انرژی در نظریه‌ی صفحات با کاربرد سری‌های فوریه استفاده شده است. برای یافتن اثر شعاع خمیدگی گوشه بر ظرفیت کمانش موضعی مقاطع نورد سرد، مقاطع قوطی شکل و ناودانی با نسبت‌های مختلف ابعاد مقطع، ضخامت و شعاع خمیدگی گوشه مورد تحلیل قرار گرفته‌اند. لازم به ذکر است

$$w_a = \left[\alpha_1 \sin\left(\frac{\pi x}{a}\right) + \alpha_1 \left(1 - \cos\left(\frac{\pi x}{a}\right)\right) \right] \sin\left(\frac{\pi z}{c}\right) \quad (1)$$

$$w_b = \left[\alpha_1 \sin\left(\frac{\pi y}{b}\right) + \alpha_1 \left(1 - \cos\left(\frac{\pi y}{b}\right)\right) \right] \sin\left(\frac{\pi z}{c}\right) \quad (2)$$

یادآور می‌شود عبارت کسینوسی بیانگر تأثیر مقاومت گوشه‌ها است. شرایطی که این تابع‌ها ارضاء می‌کنند عبارت‌اند از:

$$w_a = 0 \quad \text{for } x = 0, a$$

$$w_b = 0 \quad \text{for } y = 0, b$$

$$w_a = w_b = 0 \quad \text{for } z = 0, c$$

چنان‌که گفته شد، c نصف طول موج کمانشی است که برابر بعد بلندتر مقطع، یعنی b اختیار می‌شود. با توجه به پیوستگی شیب در گوشه‌ها می‌توان رابطه‌ی ۳ را نوشت:

$$\left(\frac{\partial w_a}{\partial x} \right)_{z=0} = \left(\frac{\partial w_b}{\partial y} \right)_{y=0} \quad (3)$$

با به کارگیری رابطه‌های ۱ و ۲ و جایگزینی آن در رابطه‌ی ۳ به وابستگی میان ضرایب α_1 و α_2 می‌رسیم:

$$\alpha_1 = \alpha_1 \left(\frac{b}{a} \right) \quad (4)$$

با فرض این که در محل پیوستگی صفحات طولی و عرضی، لنگر ایجاد شده در این دو صفحه یکسان باشد خواهیم داشت:

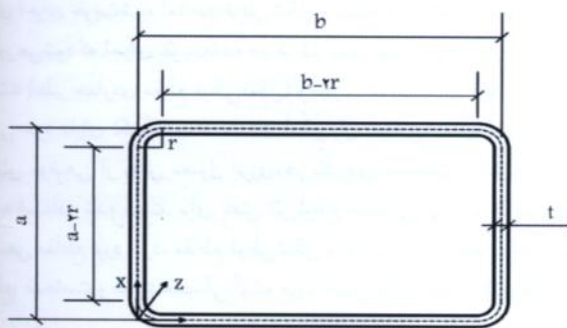
$$\left(\frac{\partial^2 w_a}{\partial x^2} \right)_{z=0} = \left(\frac{\partial^2 w_b}{\partial y^2} \right)_{y=0} \quad (5)$$

به طور مشابه، با به کارگیری رابطه‌های ۱ و ۲ و جایگزینی آن در رابطه‌ی ۵ به وابستگی میان ضرایب α_2 و α_4 می‌رسیم:

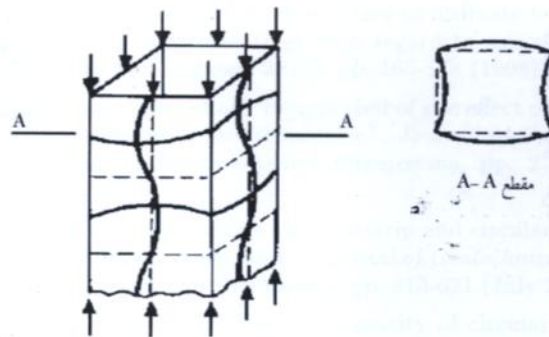
$$\alpha_4 = \alpha_4 \left(\frac{b^2}{a^2} \right) \quad (6)$$

با توجه به رابطه‌های ۴ و ۶ می‌توان رابطه‌ی ۲ را چنین بازنویسی کرد:

$$w_b = \left[\alpha_1 \left(\frac{b}{a} \right) \sin\left(\frac{\pi y}{b}\right) + \alpha_4 \left(\frac{b^2}{a^2} \right) \left(1 - \cos\left(\frac{\pi y}{b}\right) \right) \right] \sin\left(\frac{\pi z}{c}\right) \quad (7)$$



شکل ۲. ابعاد مقطع قوطی شکل مستطیلی.



شکل ۱. کمانش موضعی در عضو فشاری با مقطع قوطی شکل.^[۲]

طول موج کمانشی در حالت اعوجاج، عموماً میان کمانش موضعی و کمانش کلی است.

نایابیداری موضعی به صورت کمانش اجزای صفحه‌یی مجزا در یک مقطع توصیف می‌شود که در طول موج‌های کوتاه اتفاق می‌افتد. این نایابیداری می‌تواند در هر یک از اجزای صفحه‌یی مقطع اتفاق بیفتد. در این حالت، تغییر شکل قابل توجهی در مقطع - شامل چرخش یا تغییر شکل زاویه‌یی - به وجود می‌آید ولی هیچ جایه‌ای در خط تاشدگی عضو اتفاق نمی‌افتد.^[۱] شکل ۱ حالت کمانش موضعی در مقطع قوطی شکل را در اثر بار یکنواخت فشاری نشان می‌دهد.

برای محاسبه‌ی بار بحرانی کمانش ارجاعی در مقاطع جدارنازک روش‌های مختلفی وجود دارد که می‌توان آنها را به دو گروه روش‌های عددی و روش‌های تحلیلی تقسیم‌بندی کرد. در این نوشتار برای حل مسئله‌ی کمانش از روش انرژی با کاربرد سری‌های فوریه، که از روش‌های تحلیلی کلاسیک در نظریه‌ی صفحات است، استفاده شده است.

برای محاسبه‌ی بار بحرانی کمانش موضعی ارجاعی، ابتدا با توجه به شکل کمانش موضعی در مقطع تابع تغییر شکل جداره‌ها را از کوتاه شدن تخلیص زده شده‌اند. سپس انرژی تغییر شکل ناشی از کمانش که شامل خمش در جداره‌های تخت و پیچش و تابیدگی در گوشه‌های خمیده است از طریق رابطه‌های موجود به دست آمده است.^[۱] کار ناشی از کوتاه شدن گی در اثر بارهای یکنواخت لبه‌یی نیز توسط رابطه‌های موجود محاسبه شده و تابع انرژی پتانسیل کل به دست آمده است. با مشتق‌گیری از تابع انرژی کل نسبت به ضرایب دامنه‌ی تغییر مکان، معادلات کمانش به دست آمده و با حل معادلات به کمک نسخه‌ی ۵/۱ نرم‌افزار Mathematica V.5، بارهای کمانشی محاسبه شده‌اند. برای محاسبه‌ی انرژی ناشی از تابیدگی در گوشه‌های مقطع و جداره‌ها در اختیار داشتن ضریب ثابت تابیدگی ضروری است، که با توجه به وجود شعاع خمیدگی در گوشه محاسبه شده است. با توجه به تقارن موجود در مقطع مورد بررسی، ضریب ثابت تابیدگی برای یک‌چهارم مقطع مستطیلی محاسبه شده است. از این روش^[۲] برای محاسبه‌ی بار بحرانی مقاطع قوطی شکل مربوطی استفاده شده است.

۳. مقطع قوطی شکل

ابعاد مقطع قوطی شکل در شکل ۲ نشان داده شده است. در این شکل، a عرض جداره‌ی مقطع مستطیلی، b طول جداره‌ی مقطع مستطیلی، c نصف طول موج کمانش موضعی، r شعاع خمیدگی مقطع و t ضخامت یکنواخت جداره‌ی مقطع است. فرم تغییر شکل یافته‌ی هر جداره‌ی مقطع قوطی شکل به صورت عبارت‌های مثلثاتی ۱ و ۲ فرض شده‌اند:

انرژی تغییرشکل در دو صفحه به عرض جدارهای a و b , با بدکارگیری رابطه‌های ۱ و ۲، با دست می‌آید:

$$T_a = \frac{N}{2} \int_r^c \int_r^{a-r} \left(\frac{\partial w_a}{\partial z} \right)^t dx dz \quad (19)$$

$$T_b = \frac{N}{2} \int_r^c \int_r^{b-r} \left(\frac{\partial w_b}{\partial z} \right)^t dy dz \quad (20)$$

که در آن N بار یکنواخت در عرض واحد سطح مقطع است. حال می‌توان انرژی پتانسیل کل سیستم را مطابق رابطه ۲۱ تشکیل داد:

$$\pi = 2U_a + 2U_b + 4U_w + 4U_s - [(2T_a) + 2T_b] \quad (21)$$

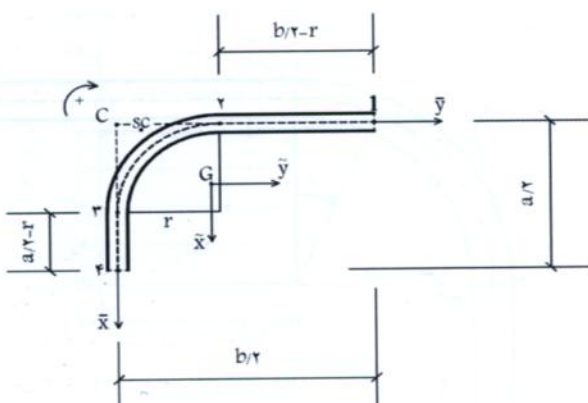
با گرفتن دیفرانسیل ازتابع انرژی پتانسیل کل، نسبت به ضرایب دامنه‌ی α_1 و α_2 و قرار دادن آن‌ها برابر صفر، دستگاه معادلات تعادل سیستم بدست می‌آید که با برابر صفر قراردادن دترمینان ماتریس ضرایب، بارهای بحرانی و مودهای کمانشی به دست می‌آید.

۴. ضریب ثابت تابیدگی

در شکل ۳ یک‌چهارم مقطع مستطیلی شکل ۲ نشان داده شده است. هدف محاسبه‌ی ضریب ثابت تابیدگی این شکل با توجه به خمیدگی نشان داده شده است. برای این منظور، ابتدا مختصات و مقدار تابیدگی نقاط مشخص شده را در دستگاه مختصات نشان داده شده به دست می‌آوریم. سپس تابع‌های مختصات و تابیدگی را برای قسمت‌های مختلف مقطع تعیین می‌کنیم. لازم به توضیح است که ضخامت مقطع برابر مقدار ثابت t فرض می‌شود.

در شکل ۳ مبدأ مختصات \bar{x} و \bar{y} نقطه‌ی تقاطع خطوط میان‌صفحه‌ی جدارهای، یعنی نقطه‌ی C است که تابیدگی نقاط نیز در آغاز از این نقطه، و با توجه به جهت نشان داده شده محاسبه می‌شود. در این شکل، G نشان‌دهنده مرکز تقل مقطع نشی و SC نشان‌دهنده مرکز برش این مقطع است. مختصات خطوط بین نقطه‌های بالا را می‌توان به صورت تابعی از پارامترهای s و θ نوشت:

$$\begin{aligned} \bar{x}_{12} &= 0 & \bar{y}_{12} &= \frac{b}{2} - s & 0 < s < \frac{b}{2} - r \\ \bar{x}_{22} &= r \sin \theta & \bar{y}_{22} &= r \cos \theta & 0 < \theta < \frac{\pi}{2} \\ \bar{x}_{24} &= r + s & \bar{y}_{24} &= 0 & 0 < s < \frac{a}{2} - r \end{aligned}$$



شکل ۳. مشخصات هندسی گوشی مقطع مستطیلی.

همچنین کار انجام شده توسط نیروی فشاری خارجی در کوتاهشدنگی اعضاء در هنگام ۷ به دست می‌آید:

$$U_a = \frac{D}{4} \int_r^c \int_r^{a-r} \left\{ \left(\frac{\partial^t w_a}{\partial x^t} + \frac{\partial^t w_a}{\partial z^t} \right)^t - 2(1-\nu) \left[\frac{\partial^t w_a}{\partial x^t} \frac{\partial^t w_a}{\partial z^t} - \left(\frac{\partial^t w_a}{\partial x \partial z} \right)^t \right] \right\} dx dz \quad (8)$$

$$U_b = \frac{D}{4} \int_r^c \int_r^{b-r} \left\{ \left(\frac{\partial^t w_b}{\partial y^t} + \frac{\partial^t w_b}{\partial z^t} \right)^t - 2(1-\nu) \left[\frac{\partial^t w_b}{\partial y^t} \frac{\partial^t w_b}{\partial z^t} - \left(\frac{\partial^t w_b}{\partial x \partial z} \right)^t \right] \right\} dy dz \quad (9)$$

مؤلفه‌ی دیگر انرژی کرنشی، انرژی ناشی از پیچش است که خود شامل دو مؤلفه‌ی پیچش سن و نان^۱ و تابیدگی است. انرژی ناشی از پیچش سن و نان در گوشی خمیده از رابطه‌ی ۱۰ به دست می‌آید:^[۴]

$$U_s = \frac{GJ}{2} \int_r^c \left(\frac{d\phi}{dz} \right)^t dz \quad (10)$$

در این رابطه، U_s انرژی کرنشی ناشی از پیچش سن و نان، ϕ زاویه‌ی پیچش در گوش، G مدول برشی ماده و J ضریب ثابت پیچشی سن و نان است که برای یک گوشی خمیده‌ی ربع دایره به شعاع r چنین به دست می‌آید:^[۴]

$$J = \frac{\pi r t^3}{2} \quad (11)$$

صورت کلی انرژی کرنشی در اثر تابیدگی عبارت است از:^[۴]

$$U_w = \frac{EC_w}{2} \int_r^c \left(\frac{d^t \phi}{dz^t} \right)^t dz \quad (12)$$

که در آن U_w انرژی کرنشی ناشی از تابیدگی و C_w ضریب ثابت تابیدگی در گوش است که طبق رابطه‌ی ۱۳ به دست می‌آید:^[۴]

$$C_w = \int_r^m (\bar{\omega} - \omega)^t t ds \quad (13)$$

در این رابطه، ω تابع تابیدگی و $\bar{\omega}$ متوسط آن تابع روی محیط مقطع (m) است که براساس رابطه‌های ۱۴ و ۱۵ به دست می‌آید:^[۴]

$$\omega = \int_r^m \rho ds \quad (14)$$

$$\bar{\omega} = \frac{1}{m} \int_r^m \rho ds \quad (15)$$

در رابطه‌های بالا، ρ فاصله‌ی قطب پیچش تا امتداد مماس بر خط میان‌صفحه مقطع است که در بخش ۳ در مورد آن توضیح داده شده است. زاویه‌ی پیچش در گوش، با توجه به رابطه‌ی ۱، چنین به دست می‌آید:

$$\phi = \left(\frac{\partial w_a}{\partial x} \right)_{z=r} = \alpha_1 \left(\frac{\pi}{a} \right) \sin \left(\frac{\pi z}{c} \right) \quad (16)$$

با جایگذاری زاویه‌ی پیچش (رابطه‌ی ۱۶) در رابطه‌های ۱۰ و ۱۲، انرژی کرنشی ناشی از پیچش سن و نان و تابیدگی در یک گوشی خمیده‌ی مقطع به دست می‌آید:

$$U_s = \frac{GJ\pi^t \alpha_1^t}{4a^t c} \quad (17)$$

$$U_w = \frac{EC_w\pi^t \alpha_1^t}{4a^t c^t} \quad (18)$$

اکنون می‌توانیم مختصات مرکز برش سیستم را نیز در دستگاه مختصات \bar{x} و \bar{y} و $\bar{\omega}$ به دست آوریم. برای این کار از رابطه‌های ۲۳ و ۲۴ استفاده می‌کنیم:

$$\bar{x}_{sc} - \bar{x}_C = \frac{I_{\bar{y}\bar{y}} I_{\bar{x}\bar{x}} - I_{\bar{x}\bar{y}} I_{\bar{x}\bar{y}}}{I_{\bar{x}\bar{x}} I_{\bar{y}\bar{y}} - I_{\bar{x}\bar{y}}^2} \quad (23)$$

$$\bar{y}_{sc} - \bar{y}_C = \frac{I_{\bar{y}\bar{y}} I_{\bar{x}\bar{y}} - I_{\bar{x}\bar{x}} I_{\bar{y}\bar{y}}}{I_{\bar{x}\bar{x}} I_{\bar{y}\bar{y}} - I_{\bar{x}\bar{y}}^2} \quad (24)$$

با داشتن موقعیت مرکز برش مقطع می‌توان ضریب ثابت تابیدگی مقطع نسبت به مرکز برش را از رابطه‌ی ۲۵ محاسبه کرد:

$$C_w = I_{\bar{\omega}} + (\bar{y}_{sc} - \bar{y}_C) I_{\bar{x}\bar{\omega}} + (\bar{x}_{sc} - \bar{x}_C) I_{\bar{y}\bar{\omega}} \quad (25)$$

۵. مقطع ناوданی

برای به دست آوردن مقدار نظری تنش بحرانی کشسان، یک عضو فشاری دو سر ساده با مقطع ناوданی نورد سرد با ابعاد مطابق شکل ۵ در نظر گرفته شده است. در این شکل a عرض بال ناوданی، b ارتفاع جان ناوданی، r شاعع خمیدگی گوش، t ضخامت یکنواخت مقطع و c نصف طول موج کمانش موضعی است که برابر ارتفاع جان در نظر گرفته می‌شود.

مراحل به دست آوردن بار بحرانی کمانش موضعی مشابه مقطع مستطیلی است، و فقط در تابع‌های تغییرشکل اجزای صفحه‌ی مقطع تفاوت‌هایی مشاهده می‌شود. در مقطع ناوданی تابع‌های ۲۶ و ۲۷ برای تغییر شکل بال و جان مقطع انتخاب شده‌اند:

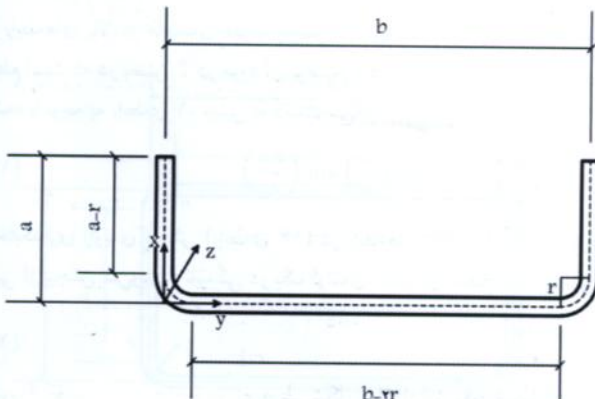
$$w_w = \left[\alpha_1 \sin\left(\frac{\pi y}{b}\right) + \alpha_2 \left(1 - \cos\left(\frac{2\pi y}{b}\right)\right) \right] \sin\left(\frac{\pi z}{c}\right) \quad (26)$$

$$w_f = \left[\theta x + \alpha_2 \left(1 - \cos\left(\frac{\pi x}{r}\right)\right) \right] \sin\left(\frac{\pi z}{c}\right) \quad (27)$$

با در نظر گرفتن پیوستگی شیب و لنگر در گوشه‌ها می‌توان نشان داد که در اینجا هم دو ضریب مستقل وجود دارد. با بازنویسی رابطه‌های تغییر مکان و محاسبه مولفه‌های انرژی، تابع انرژی پتانسیل کل مطابق رابطه‌ی ۲۸ نوشته می‌شود:

$$\pi = 2U_a + U_b + 2U_\omega + 2U_s - [(2T_a) + T_b] \quad (28)$$

ادامه‌ی مراحل محاسبه بار بحرانی کمانش مشابه روش گفته شده در بخش پیشین برای مقاطع قوطی شکل است.



شکل ۵. ابعاد مقطع ناوданی.

برای محاسبه‌ی تابیدگی در جدارهای از رابطه‌های ۱۴ و ۱۵ استفاده می‌کنیم. فاصله‌ی ρ در بخش دارای خمیدگی، یعنی بین نقطه‌های ۲ و ۳ مشخص شده در شکل ۴، طبق رابطه‌ی ۲۲ محاسبه می‌شود:

$$\rho = r(\sin \theta + \cos \theta - 1) \quad (22)$$

بنابراین تابع تابیدگی در بازه‌های نشان داده شده در شکل ۳ چنین به دست می‌آید:

$$\bar{\omega}_{12} = 0$$

$$\bar{\omega}_{23} = r^\dagger (\sin \theta - \cos \theta + 1 - \theta) \quad 0 < \theta < \frac{\pi}{2}$$

$$\bar{\omega}_{24} = \left(2 - \frac{\pi}{2}\right) r^\dagger$$

اکنون به محاسبه‌ی خصوصیات هندسی مقطع خواهیم پرداخت. مساحت سطح مقطع (A), لنگرهای اینرسی (S) و لنگرهای اینرسی مقطع (I) در دستگاه مختصات \bar{x} و \bar{y} و $\bar{\omega}$ چنین به دست می‌آید:

$$A = \left(\frac{a}{2} + \frac{b}{2} - 2r + \frac{\pi r}{2} \right) t$$

$$S_{\bar{x}} = \int \bar{x} t ds \quad S_{\bar{y}} = \int \bar{y} t ds \quad S_{\bar{\omega}} = \int \bar{\omega} t ds$$

$$I_{\bar{x}} = \int \bar{x}^\dagger t ds \quad I_{\bar{y}} = \int \bar{y}^\dagger t ds \quad I_{\bar{\omega}} = \int \bar{\omega}^\dagger t ds$$

$$I_{\bar{x}\bar{y}} = \int \bar{x}\bar{y} t ds \quad I_{\bar{x}\bar{\omega}} = \int \bar{x}\bar{\omega} t ds \quad I_{\bar{y}\bar{\omega}} = \int \bar{y}\bar{\omega} t ds$$

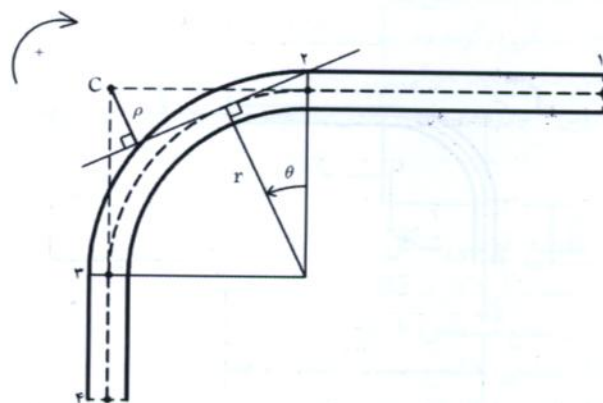
انتگرال‌های بالا در بازه‌های جداگانه محاسبه می‌شوند. برای انجام این کار نیز از نرم‌افزار Mathematica استفاده می‌شود. موقعیت مرکز تقل مقطع چنین به دست می‌آید:

$$\bar{x}_G = \frac{S_{\bar{x}}}{A} \quad \bar{y}_G = \frac{S_{\bar{y}}}{A} \quad \bar{\omega}_G = \frac{S_{\bar{\omega}}}{A}$$

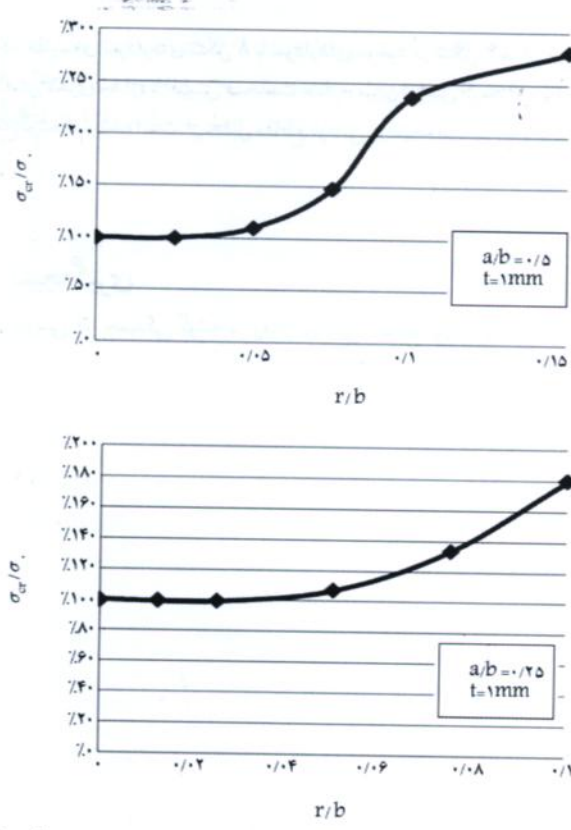
لنگرهای اینرسی در دستگاه مختصات \bar{x} و \bar{y} و $\bar{\omega}$ را با توجه به شکل ۳ به دست می‌آوریم:

$$I_{\bar{x}} = I_{\bar{x}} - \frac{S_{\bar{x}}^\dagger}{A} \quad I_{\bar{y}} = I_{\bar{y}} - \frac{S_{\bar{y}}^\dagger}{A} \quad I_{\bar{\omega}} = I_{\bar{\omega}} - \frac{S_{\bar{\omega}}^\dagger}{A}$$

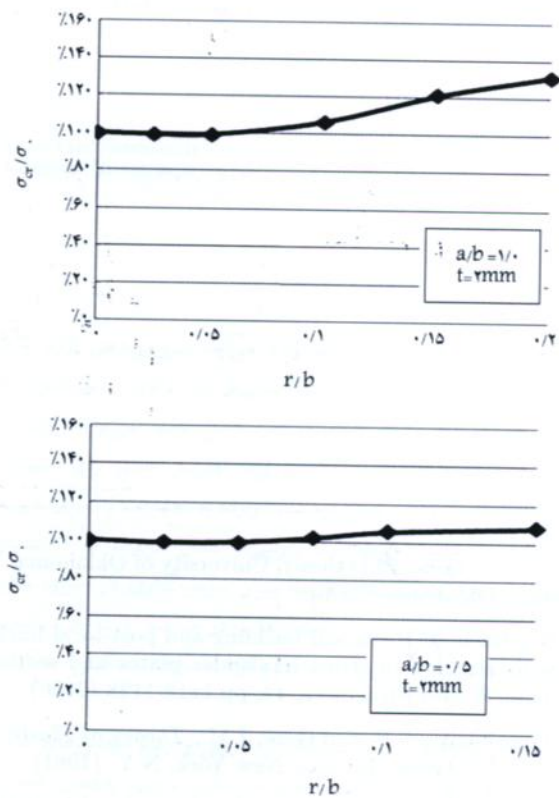
$$I_{\bar{x}\bar{y}} = I_{\bar{x}\bar{y}} - \frac{S_{\bar{x}} S_{\bar{y}}}{A} \quad I_{\bar{x}\bar{\omega}} = I_{\bar{x}\bar{\omega}} - \frac{S_{\bar{x}} S_{\bar{\omega}}}{A} \quad I_{\bar{y}\bar{\omega}} = I_{\bar{y}\bar{\omega}} - \frac{S_{\bar{y}} S_{\bar{\omega}}}{A}$$



شکل ۴. معرفی پارامترهای لازم برای محاسبه‌ی تابیدگی.



شکل ۷. تغییرات بار بحرانی مقاطع ناودانی بر اثر افزایش شعاع خمیدگی گوشه (t = 1 mm).



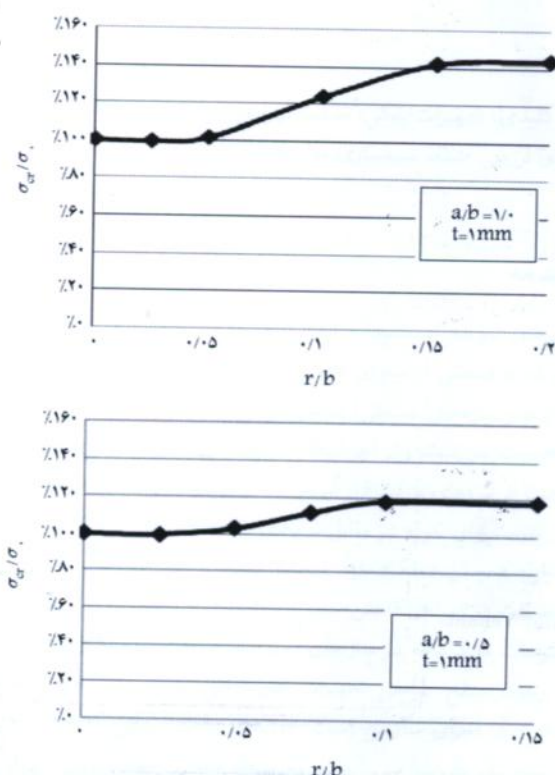
شکل ۸. تغییرات بار بحرانی مقاطع قوطی شکل بر اثر افزایش شعاع خمیدگی گوشه (t = 1 mm).

۶. نتایج تحلیل

مقاطع قوطی شکل و ناودانی با نسبت های گوناگون ابعاد و ضخامت و شعاع خمیدگی گوشه با روش گفته شده در بخش های پیشین مورد تحلیل قرار گرفت. نتایج حاصل از این تحلیل به صورت نمودار، برای مقاطع قوطی شکل و ناودانی با ضخامت جداره ای برابر $1/0$ میلی متر و نسبت های مختلف ابعاد، با توجه به شکل های ۲ و ۵، در شکل های ۶ و ۷ ارائه شده است. لازم به یادآوری است که در این نمودارها σ برابر با بحرانی نظری، و شعاع خمیدگی گوشه برابر صفر فرض شده است.

با مطالعه نمودار شکل های ۶ و ۷ می توان نتیجه گرفت که افزایش شعاع خمیدگی گوشه، باعث افزایش بار بحرانی کمانش موضعی کشسانی در هر دو مقاطع ناودانی و قوطی شکل می شود. علت این امر را می توان افزایش سختی مقطع برابر افزایش مقاومت گوشه های خمیده در برابر تابیدگی، مناسب با افزایش شعاع خمیدگی عنوان کرد. این افزایش در بار بحرانی، بهخصوص در شعاع های بالاتر، بسیار قابل توجه است اگرچه عموماً در نسبت های شعاع کمتر از $5/0$ این تأثیر ناجیز است. دیگر نکته ای قابل توجه در نمودارهای شکل های ۶ و ۷ شدت تأثیر افزایش شعاع خمیدگی گوشه در بار بحرانی کمانش موضعی در مقاطع ناودانی نسبت به مقاطع قوطی شکل است. از اینجا می توان نتیجه گرفت که این تأثیر در مقاطع دارای اجزای تقویت نشده بیش از مقاطعی است که کلیه ای اجزای آنها تقویت شده اند.

برای مطالعه نقش لاگری جداره مقاطع در تأثیر میزان شعاع خمیدگی گوشه بر بار بحرانی، مقاطع قوطی شکل و ناودانی با ضخامت های جداره مختلف مورد تحلیل قرار گرفته است. در شکل ۸ نمودارهای تغییرات بار بحرانی بر اثر افزایش شعاع خمیدگی در مقاطع قوطی شکل با ضخامت جداره برابر $2/0$ میلی متر ترسیم شده



شکل ۹. تغییرات بار بحرانی مقاطع قوطی شکل بر اثر افزایش شعاع خمیدگی گوشه (t = 1 mm).

کلی دارای اجزای تقویت شده و تقویت نشده مورد تحلیل قرار گرفت. بررسی های انجام شده روی مقاطع قوطی شکل و ناودانی نشان داد که با افزایش شعاع خمیدگی گوشه، میزان بار بحرانی کمانش موضعی کشسانی مقاطع افزایش می یابد؛ این افزایش بر اثر افزایش مقاومت تابیدگی مقطع است. نتایج نشان داد که تأثیر افزایش شعاع خمیدگی بر ظرفیت کمانشی مقطع در مقاطع دارای اجزای تقویت نشده بیش از مقاطعی است که کلیه اجزای آن ها تقویت شده اند. همچنین نشان داده شد که تأثیر افزایشی شعاع خمیدگی گوشه بر ظرفیت کمانشی مقطع، با کاهش لاغری جداره کمتر می شود.

است. مقایسه نمودارهای شکل ۸ با نمودارهای موجود در شکل ۶ نشان می دهد که با کاهش لاغری جداره یا افزایش ضخامت جداره، میزان افزایش بار بحرانی بر اثر افزایش شعاع گوشه کمتر شده است. از تحلیل مقاطع ناودانی نیز نتیجه مشابهی به دست می آید.

۷. نتیجه گیری

برای بررسی اثر خمیدگی گوشه بر رفتار کمانشی مقاطع نورد سرد دو گونه مقطع

پانوشت

1. Saint Venant

منابع

- Wei-Wen Yu, P.E., *Cold-Formed Steel Design*, 3rd Edition, John Wiley & Sons Inc (2000).
- Ramseyer, C.E., *Axial Load Capacity of Cold-Formed*

Steel Sections, PhD thesis, University of Oklahoma, Norman, Oklahoma (2006).

- Bambach, M.R. "Local buckling and post-local buckling redistribution of stress in slender plates and sections", *Thin-Walled Structures*, 44, pp.1118-1128 (2006).
- Timoshenko, S.P. and Gere, J.M., *Theory of Elastic Stability*, McGraw-Hill Inc., New York, N.Y. (1961).
- Marsh, C. "Influence of bend radii on local buckling in cold formed shapes", *Journal of Structural Engineering, ASCE*, 123 (12), pp. 1686-1689 (1997).